

## بهینه‌سازی هندسه فضاهای معماری برای دستیابی به عملکرد حرارتی با استفاده از اثر ترموماکوستیک\*

مهندس زهرا سخنдан سرخابی\*\*، دکتر فرشاد نصراللهی\*\*\*، دکتر عباس غفاری\*\*\*\*

تاریخ دریافت مقاله: ۱۳۹۵/۰۶/۲۱ تاریخ پذیرش نهایی: ۱۳۹۶/۰۶/۲۱

### پنجم

در مقاله حاضر هندسه‌های بهینه که با جذب نوسان‌های صوتی حاصل از انعکاس، حداکثر میزان گرما را تولید می‌کنند، شناسایی شده‌اند، تا با به حداقل رسیدن میزان نوفه، از تغییرات دمایی حاصل در جهت گرمایش و سرمایش فضا بهره‌گیری شود. پژوهش حاضر به روش تجربی و شبیه‌سازی، با نرم‌افزار COMSOL5.2 انجام شده‌است. با پخش صوت با فرکانس ۸۰۰۰ هرتز در فضا، تغییرات دمایی حاصل از جذب صوت در فضا مستندسازی شد و با دستیابی به نتایج عددی، مناسب‌ترین هندسه‌ها برای تولید گرما از نوسانات صوتی و به حداقل رساندن نوفه شناسایی گشت. می‌توان گفت در میان اجسام خالص، استوانه موجب تولید بیشترین دما با انرژی‌های صوتی می‌گردد. افزایش گوشش‌های ۹۰ درجه در هندسه‌های معماری به حالتی که طول ضلع‌های مجاور زاویه، برابر باشد، دما را ارتقاء داده و بهترین مکان برای گوشش‌سازی در پلان‌های راست‌گوش،  $1/3$  فوچانی از ارتفاع فضاست که بیشترین جذب انرژی‌های صوتی به صورت گرمایشی را موجب می‌گردند.

### واژه‌های کلیدی

گوشش سازی، انرژی صوتی، جذب کننده، گرما، SPL

\* مقاله حاضر مستخرج از پایان‌نامه دکتری با عنوان «واکاوی عملکرد حرارتی فضای داخلی مدارس تبریز با تأکید بر همنشینی هندسی و آکوستیکی پوسته فضا و کاواک» به راهنمایی آقای دکتر فرشاد نصراللهی و آقای دکتر عباس غفاری می‌باشد.

\*\*دانشجوی دکتری رشته معماری، دانشگاه هنر اصفهان، استان اصفهان، شهر اصفهان. (مسئول مکاتبات)

Email: Zahra.sokhandan@gmail.com

\*\*\*استادیار گروه معماری، دانشگاه هنر اصفهان، استان اصفهان، شهر اصفهان.

Email: f.nasrollahi@udk-berlin.de

\*\*\*\*استادیار گروه معماری، دانشگاه هنر اسلامی تبریز، استان آذربایجان شرقی، شهر تبریز.

Email: abbas\_ghaffari@yahoo.com

## ۱- مقدمه

انرژی‌های صوتی پرداخته و آنها را به صورت گرمابه داخل فضای انتقال دهد. در این صورت با کاهش سطح انتقال صوت به خارج از فضای موردنظر، سطح نوافه در فضاهای مجاور کاهش یافته و از گرمایش تولیدی به واسطه جذب صوت جهت رفع نیازهای محدود گرمایشی بهره‌گیری خواهد شد.

### ۱-۱ پیشینه پژوهش

در دهه‌های اخیر، ترکیب علوم آکوستیک و ترمودینامیک سبب پیدایش فناوری ترموماکوستیک (دانش گرما صوت) و توسعه دستاوردهای جدید در زمینه‌های علمی و صنعتی شده است. فناوری ترموماکوستیک به دلیل دارا بودن مزایایی مانند عدم ایجاد آلودگی‌های زیستمحیطی و عدم استفاده از گازهای مخرب توجه زیادی را به خود جلب کرده است (کریمی، ۱۳۹۲). اصطلاح ترموماکوستیک به دانشی بین‌رشته‌ای در مطالعات تبدیل انرژی‌های گرمایشی و انرژی‌های آکوستیکی اشاره می‌کند (Jin et al., 2015). کنش و واکنش‌های گرمایشی و هیدرودینامیک بین دیوار (مصالح) صلب و جریان صوتی با بهره‌گیری از نوسان سیال می‌تواند جریان گرمایشی و توان قابل توجهی را در جهت موافق یا مخالف موج‌های صوتی ایجاد کند (Swift, 1988; Rott, 1969). توجه به اثر ترموماکوستیک تاریخچه‌ای طولانی در حدود دو قرن را سپری کرده است. پدیده ترموماکوستیک و ایجاد امواج نوسانی برای اولین بار توسط بایرون هیگینز<sup>۱</sup> در سال ۱۷۷۷ میلادی، با قرار دادن شعله هیدروژن در یک لوله بزرگ که بعداً به شعله آوازخوان معروف شد، مشاهده گردید. در سال ۱۸۱۶ زمانی که لاپلاس<sup>۲</sup> محاسبات نیوتون را در مورد صوت تصحیح می‌کرد، متوجه شد که در اثر تراکم و انبساط امواج صوتی دما اندکی تغییر می‌پید (Swift, 1988). چند دهه بعد در سال ۱۸۵۰، ساندهاوس<sup>۳</sup> مشاهدات خود در مورد ترموماکوستیک را در قالب یک مقاله منتشر کرد (کریمی، ۱۳۹۲). در این مشاهدات بیان شده بود که اگر یک جباب شیشه‌ای در انتهای یک لوله شیشه‌ای نازک قرار گیرد صدایی از ناحیه باز لوله شنیده می‌شود. در سال ۱۸۵۹ داشمندی به نام ریکی<sup>۴</sup> آزمایش ساندهاوس را در یک لوله دو سر باز با قرار دادن یک صفحه مشبک در میانه لوله تکرار کرد و دریافت که ارتعاشات شدیدی در لوله رخ می‌دهد (Jin et al., 2015). کریشهف<sup>۵</sup> در سال ۱۸۶۸ برای اولین بار به مطالعه میرایی اواخر قرن نوزدهم، رایلی یک توصیف کیفی از پدیده ترموماکوستیک با عنوان «تئوری صوت» را ارائه نمود. او در این تئوری پدیده تقویت و میرایی نوسانات آکوستیکی را بدین صورت تشریح کرد: «اگر به گاز در لحظه بیشترین انقباض، گرما داده شود و در لحظه کمترین انبساط گرما از آن گرفته شود، انتقال حرارت، موجب ارتعاش شده و نوسان‌های آکوستیکی تقویت می‌گردد» (Rott, 1974). او همچنین نوسانات ساندهاوس را که مقدمه‌ای بر نوسانات تاکونیس هستند، اثبات کرد. «نوسان تاکونیس<sup>۶</sup> پدیده‌ای است که در آن یک تیوب پر از گاز از دمای محیط به دمای سرد می‌رسد و دچار نوسانات خود به خودی می‌شود که با انتقال حرارت زیادی از محیط به فضای سرد همراه است» (Gopinath et al., 1998). توسعه معادلات ترموماکوستیک با مطالعه عمیق‌تر پدیده تاکونیس در سال ۱۹۴۹ توسط کرامر<sup>۷</sup> آغاز

در طول تاریخ، انسان از منابع و انرژی‌های موجود در طبیعت برای تأمین نیازهای گرمایشی و سرمایشی خود بهره جسته است (اسخن‌دان و خان محمدی، ۱۳۹۴). یکی از اصلی‌ترین دلایل مصرف بیش از اندازه از منابع طبیعی برای تولید انرژی، رسیدن به آسایش حرارتی در داخل بنا بوده است (برزگر و همکاران، ۱۳۹۳). متدائل‌ترین روش تولید گرمایش و سرمایش در زندگی معاصر، استفاده از منابع تجدیدناپذیر مانند سوخت‌های آلی است که با وجود تولید انرژی قابل توجه، صدمات عظیمی را بر پیکره طبیعت و محیط‌زیست وارد می‌کند که بازنگری جامعی را در سبک زندگی، معماری و رفع نیاز انسان معاصر می‌طلبد (Khammohammadi & Sokhandan, 2013). جامع‌ترین تحولاتی که در معماری معاصر به وقوع پیوست بازگرداندن طبیعت به معماری بود، به نحوی که باد، آفتاب، آب و گیاه به عنوان بخشی از منابع تأمین انرژی موردنیاز انسان به کار بسته شدند (مور، ۱۳۸۲). توجه به جهت‌گیری‌های مناسب نسبت به باد و آفتاب، نقش حفاظتی گیاه و استفاده از ظرفیت گرمایی آب متدائل‌ترین اقداماتی بود که در غالب ایجاد سامانه‌های ایستا در کالبد معماری معاصر نقش‌بست (لب و واتسون، ۱۳۸۴). تغییرات تشیدی فشار هوا گونه‌ای از قابلیت‌های طبیعی است که در کارکرد و طراحی سامانه‌های ایستا، کمتر مورد توجه قرار گرفته است. شاید دلیل محدودیت این عامل، توجه بیشتر به مسیر طبیعی جریان هوا در سامانه‌های ایستا بوده است، در حالی که فرایندهای طبیعی مختلفی در فضاهای معماری و در زیستمحیط، ایجاد کننده، تشید کننده، نوسان‌ساز جریان هوا و تغییردهنده فشار آن هستند. یکی از این عوامل، صدا و انرژی‌های آکوستیکی است که تغییرات قابل توجهی را در فشار هوا ایجاد می‌کنند، این تغییرات در داخل فضاهای در موقعیت‌های متنوعی تشید می‌گردد که بازتابش‌های متنوع صوت در محفظه‌های کوچک و کنج‌ها از آن جمله‌اند. سؤال اصلی پژوهش این است که چه نوع هندسه‌هایی در تولید گرما از انرژی‌های صوتی بدون دخالت عواملی مانند خصوصیات مصالح کاربردی در فضا، رطوبت نسبی سیال و جریان هوای داخلی مؤثرند؟

برای انجام پژوهش از نرم‌افزار COMSOL و فیزیک‌های آکوستیک و انتقال گرما در سیالات بهره‌گیری شده است. شبیه‌سازی در دو گام اصلی آکوستیکی شامل محاسبه فشار، شدت، تراز فشار صوتی و گرمایشی به هدف استفاده از توان تولیدی انرژی صوتی جهت ایجاد اختلاف دما در واحد کلوین انجام شده است. داده‌های کاربردی در فیزیک صوت، فرکانس اولیه و ضریب جذب سیال اصلی (هوا) و در فیزیک انتقال گرما، دمای اولیه در داخل فضا است. ابتدا شبیه‌سازی در احجام خالص با حجم یک مترمکعب شامل مکعب، کره، سهمی و مخروط با ارتفاع ثابت یک‌متر انجام شده و مناسب‌ترین هندسه جهت تولید گرما از نوسانات فشار هوا در اثر انرژی‌های صوتی به دست آمده است. سپس با ترکیب هندسه مناسب با هندسه‌های راست‌گوش، هندسه‌های ترکیبی مؤثر شناسایی شده و عوامل مؤثر هندسی به صورت راهکار معماری در تولید گرما از صوت ارائه گشته است.

هدف اصلی پژوهش یافتن هندسه‌هایی است که بدون نیاز به جذب کننده‌های صوتی و به صورت منحصر به فرد با استفاده از خصوصیات هندسی فضا و جریان سیال موجود (هوا) در آن به جذب

از جذب‌کننده‌های صوتی روشنی است که باعث کاهش زمان واکنش انرژی صوت شده و فرایند تبدیل انرژی‌های صوتی به انرژی‌های گرمایشی را تسهیل می‌سازند. یکی از مشکلات متداول در زمینه فوق، انتقال صوت به فضاهای مجاور قبل از به هدر رفتن آن به صورت گرمایشی است که موجات ایجاد نوافه در فضا را فراهم می‌کنند. روند کلی پژوهش انتخاب هندسه‌های متنوع فضایی به حجم یک مترمکعب و پخش یک فرکانس ثابت از سقف در ارتفاع یک متري از کف فضا و بررسی میزان فشار، شدت، تراز فشار صوتی و دمای تولیدی است. در فرایند انجام پژوهش از نرم‌افزار Comsol، فیزیک‌های آکوستیک و انتقال حرارت نرم‌افزار جهت شبیه‌سازی استفاده شده است. فرکانس ثابت شبیه‌سازی، ۸۰۰۰ هرتز (به عنوان بحرانی ترین فرکانس از نظر تولید گرما)، دمای اولیه ۲۹۰ درجه کلوین (معادل ۱۷ درجه سانتی‌گراد، حداقل دمای آسایش زمستان) و مدت‌زمان انجام شبیه‌سازی ۲۰۰۰ ثانیه است. در فرایند پژوهش، شبیه‌سازی هندسه‌های مختلف در دو دسته احجام خالص و احجام ترکیبی انجام شده است.

### امکان‌سنجی استفاده از صوت برای تولید گرما

بخش حاضر برای اعتبارسنجی بیرونی، امکان‌بایی و کمی‌سازی تجربی فرایند تولید گرما از انرژی‌های صوتی با توجه به عوامل طبیعی و مصنوعی است که در فضاهای معماری دخالت دارند. رطوبت نسبی و جریان هوای مصالح کاربردی در فضا و موقعیت منبع صوتی، جزء این عوامل هستند. از آنجایی که ساخت گونه‌های متنوع هندسی به صورت تجربی و آزمون آن به حالت آزمایشگاهی مستلزم صرف هزینه بسیار زیاد است یک نمونه هندسی متداول در کارهای ساختمانی ساخته شده و اعتبار سنجی بیرونی و نرم‌افزاری به وسیله آن انجام شده است.

نمونه ساخته شده یک مکعب مستطیل در ابعاد  $1\text{m} \times 1\text{m} \times 0.5\text{m}$  است که با استفاده از ورق‌های یونولیتی به ضخامت ۵ سانتی‌متر و دولاًیه گچ به صورت گچ‌وچاک به ضخامت  $1/5$  سانتی‌متر و گچ سفید به ضخامت ۱ سانتی‌متر ساخته شده است. منابع صوتی در درون نمونه قرار گرفته و در مدت‌زمان ۲۰ دقیقه صوت در داخل آن پخش می‌شود. با قیاس دمای سطوح و دمای هوای داخل نمونه مورد آزمایش قبیل و بعد از پخش صوت، با استفاده از دما‌سنج لیزری نتایج استخراج می‌گردد. صدای پخش شده صدایی در فرکانس ۱۰۰۰ هرتز بوده و تعداد منبع صوتی دو عدد است. (شکل ۱)

شرایط آزمایش تجربی در نرم‌افزار Comsol شبیه‌سازی شده و نتایج مقایسه گشته است. ضریب جذب سیال داخل مکعب مستطیل با توجه به رطوبت نسبی هوا و ضرایب جذب صوت، ضریب انتقال حرارتی و ظرفیت حرارتی دیوار گچی به دیوارهای نمونه شبیه‌سازی شده اختصاص داده می‌شود. دمای اولیه در محیط آزمایش  $23/5$  درجه سانتی‌گراد معادل ۲۹۷ درجه کلوین در محیط نرم‌افزار Comsol است. (شکل ۲)

مقایسه نتایج عددی شبیه‌سازی در نرم‌افزار Comsol و آزمایش تجربی در جدول ۱ ارائه شده است.

شایان ذکر است که برای حذف عوامل مداخله‌گری مانند توان گرمایشی

گردید و روت بر پایه مطالعات کرامر در سال ۱۹۶۹ یک تئوری خطی موفق در مورد ترموماکوستیک ارائه کرد و پس از آن تلاش گسترده‌ای بهمنظور کاربردی کردن فناوری ترموماکوستیک آغاز شد (Bao et al., 2006). از منظر انتقال انرژی تأثیرات ترموماکوستیکی در چهار دسته کلی تقسیم می‌شود:

- تبدیل گرمایش به صوت؛
- استفاده از صوت برای سرمایش؛
- استفاده از صوت برای تولید برق؛
- کارکرد صوت در گرمایش؛

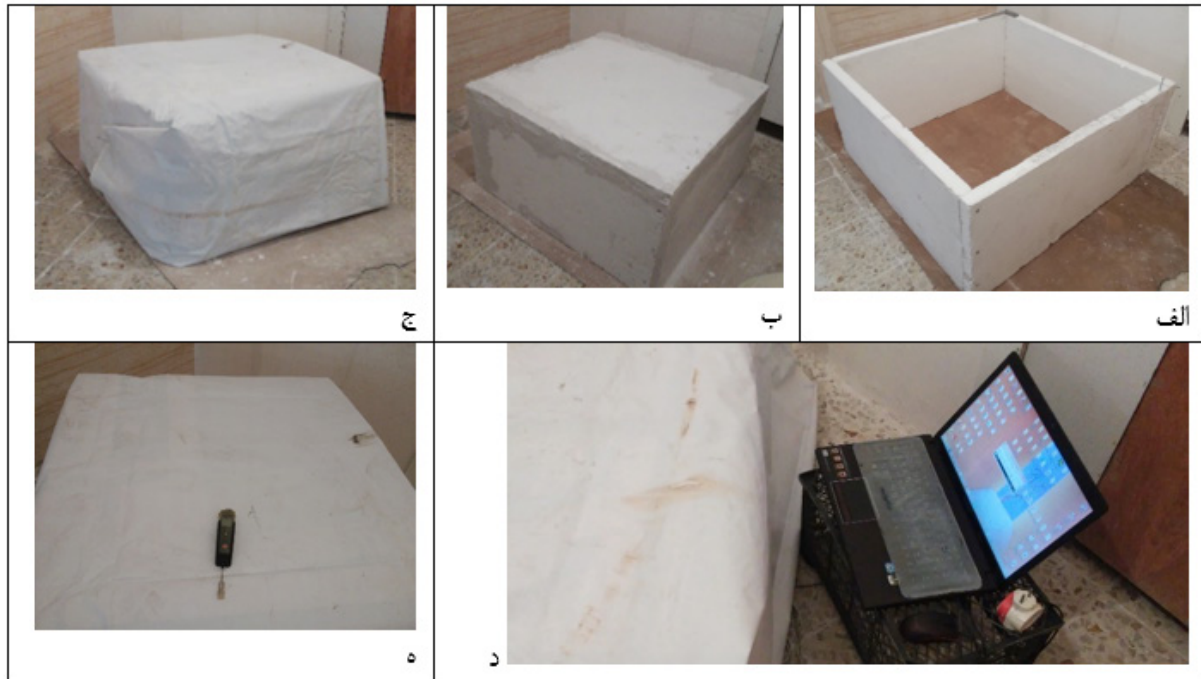
اصلی‌ترین جزء در تجهیزات ترموماکوستیک، روزناتورها یا حفره‌های هلم هولتز هستند که در دانش آکوستیک، کاواک نامیده می‌شوند (صادقی‌زاده، ۱۳۹۰). از آنجایی که کاواک‌ها با استفاده از خصوصیات هندسی خود به جذب صوت و اتلاف آن (به حالت گرمایشی) می‌پردازند، ایده استفاده از هندسه معماری به عنوان یک کاواک عظیم را در فضا برای تولید گرما از انرژی‌های صوتی در ذهن پژوهشگر مطرح ساخته است. در پژوهش حاضر، پژوهشگر به دنبال یافتن هندسه‌هایی است که فضای عظیم معماری را از نظر قوانین فیزیک آکوستیک به یک کاواک پویا تبدیل کند و با استفاده از خصوصیات هندسی فضا بر محدودیت‌های کاربردی کاواک‌های اولیه فائق آید. اصلی‌ترین محدودیت آکوستیکی کاواک، جذب صوت در فرکانس‌های کم است. بنابراین پژوهشگر در مقاله حاضر تلاش کرده است که با استفاده از فرکانس بالا و خصوصیات هندسی فضا، به تولید گرمایش و جذب صوت پردازد. فرکانس ۸۰۰۰ هرتز با تمايل به تغییر فرکانسی به سمت فرکانس‌های بالاتر و خشی‌سازی انرژی صوت با همنشینی شکم و گره‌های صوتی در اثر پاسخ فرکانسی به عنوان فرکانس مورد آزمایش در پژوهش انتخاب شده است.

### روش پژوهش

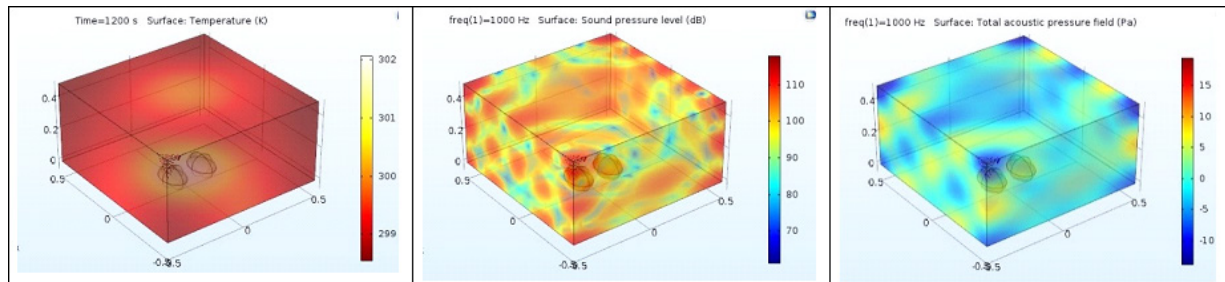
پژوهش حاضر از نظر هدف، در دسته پژوهش‌های کاربردی قرار می‌گیرد زیرا در صدد رفع نیازمندی‌های بشر، بهبود و بهینه‌سازی ابزارها، اشیاء و الگوها در جهت توسعه رفاه، آسایش و ارتقاء سطح زندگی است. گونه پژوهش از نظر ماهیت داده‌ها به دلیل وجود داده‌های عددی حاصل از شبیه‌سازی در نرم‌افزار، کمی و روش پژوهش از نظر روش، شبیه‌سازی است.

### هندسه فضا و گرما صوت

یکی از اصلی‌ترین راهکارهای معماری برای ارتقاء کیفیت آکوستیکی و گرمایشی در فضا، استفاده از هندسه‌های مشخص در ساخت آنها است. بهره‌گیری از هندسه‌های متراکم و حداقل نسبت سطح به حجم برای کنترل گرمایشی و ایجاد همگرایی و اگرایی در هندسه‌های چهارگوش جهت ایجاد دیوارهای هم‌راستای غیر موازی برای کنترل آکوستیکی از متداول‌ترین راهکارهای معماری محسوب می‌شود (اگان، ۱۳۹۰). انرژی‌های صوتی تولید شده در فضا، پس از سپری شدن زمان واکنش مربوط به خود به صورت انرژی‌های گرمایشی به هدر می‌روند. استفاده



شکل ۱. مراحل ساخت و آزمایش نمونه آزمایشگاهی، الف و ب: ساخت نمونه، ج: عایق سازی دولایه پتویی و پلاستیکی، د: پخش صوت، ه: دماسنجه لیزری برای اندازه‌گیری دما.



شکل ۲. شبیه‌سازی آکوستیکی و حرارتی نمونه مورد آزمایش.

شده است. گام‌های انجام پژوهش در یکی از احجام (استوانه) به تفصیل شرح داده شده و نتایج بقیه احجام در جداول بعدی ارائه می‌گردد. نتایج آکوستیکی شبیه‌سازی در حجم یک مترمکعب استوانه‌ای در شکل‌های ۳ تا ۵ ارائه شده است.

تغییرات فشار آکوستیک در نمونه اندازه‌گیری شده از ۴-۶۰ تا ۷۰/۲۰ پاسکال حاصل گردید. بیشترین میزان فشار آکوستیک در نمونه معادل با ۱/۲۵۷ پاسکال است. (شکل ۳)

تغییرات شدت صوت از عدد ۱/۱۰ $\times$ ۵۷/۲ تا ۲-۱۰ $\times$ ۵۷/۱ وات بر مترمربع در نمونه موردنظر شبیه‌سازی قابل مشاهده است. (شکل ۴)

نتایج آکوستیکی حاصل از فیزیک آکوستیک در نرمافزار به عنوان داده‌های اولیه برای محاسبه میزان گرمای تولیدشده در داخل نمونه استوانه‌ای، مورداستفاده قرار گرفته است. در این مرحله، نرمافزار از معادلات کاواک برای محاسبه میزان گرمای تولیدی استفاده می‌کند. داده‌هایی مانند دمای اولیه هوا و ضریب جذب آن در این مرحله از

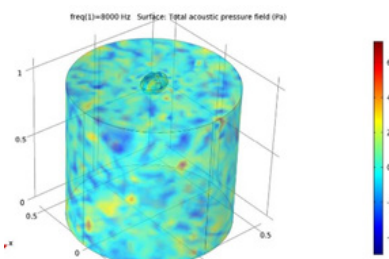
منبع صوتی (گرم شدن دستگاه)، آزمایش مجدد تکرار شده و تفاوت دما (در حدود ۵/۰ درجه سانتی‌گراد) از نتایج آزمایش کسر شده است و اعداد اصلاحی در جدول ارائه شده است. تفاوت دما در جبهه شمالی به جهت قرارگیری این جبهه در جهت مخالف جریان گرمایی در فضای آزمایشگاه است.

### گرما صوت در اهمیات فالص

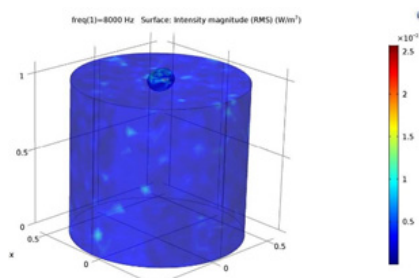
در این بخش از پژوهش احجام کروی، سهموی، مخروطی، استوانه‌ای و مکعب شکل با حجم‌های برابر یک مترمکعب و با ارتفاع‌های یکسان یک متر شبیه‌سازی شده‌اند. منبع پخش صوت به شکل یک حجم سهموی با اقطار ۷/۰ و ۷ سانتی‌متری است که در مرکز سطح فوقانی حجم موردنظر مکان‌یابی شده است. دمای حاصله از پخش صوت با فرکانس ۸۰۰۰ هرتز (معادل با توان صوتی یک نفر) در بازه‌های زمانی ۵، ۱۲۵، ۲۵۰، ۵۰۰، ۲۰۰۰ و ۱۰۰۰ ثانیه در احجام مذکور اندازه‌گیری

جدول ۱. مقایسه نتایج نمونه موردنی تجربی و شبیه‌سازی و اعتبارسنجی بیرونی.

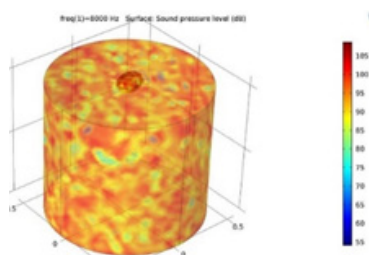
موقعیت نمونه تجربی	دما قبل از انجام آزمایش	دما بعد از انجام آزمایش	دما اولیه شبیه‌سازی	دما بعد از شبیه‌سازی
دیوار شمالی	۲۳/۵ C	۲۴/۵ C	۲۹۷ K = ۲۶/۴۶ C	۲۹۷ K = ۲۳/۵ C
دیوار جنوبی	۲۴ C	۲۶ C	۲۹۹/۵۵ K = ۲۶,۰,۵ C	۲۹۷ K = ۲۳/۵ C
دیوار شرقی	۲۴ C	۲۶ C	۲۹۹/۴۱ K = ۲۵,۹۱ C	۲۹۷ K = ۲۳/۵ C
دیوار غربی	۲۳/۵ C	۲۵/۵ C	۲۹۹/۳۲ K = ۲۵,۸۲ C	۲۹۷ K = ۲۳/۵ C
هوای داخل نمونه	۲۳/۵ C	۲۵/۵ C	۲۹۹/۰,۴ K = ۲۵,۵۴ C	۲۹۷ K = ۲۳/۵ C
سقف	۲۴ C	۲۶/۵ C	K = ۲۶/۵,۰,۴ ۳۰,۰/۰,۰,۴	۲۹۷ K = ۲۳/۵ C



شکل ۳. توزیع فشار صوتی در حجم استوانه‌ای.



شکل ۴. توزیع شدت صوتی حجم استوانه‌ای.



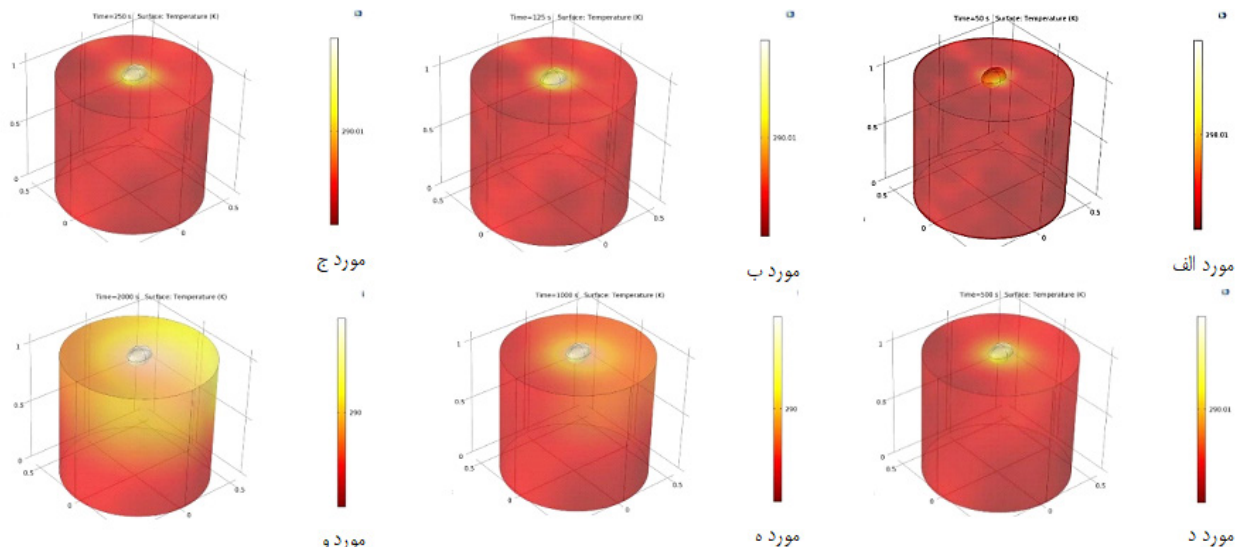
شکل ۵. توزیع تراز فشار صوتی(SPL) در حجم استوانه.

استوانه‌ای شکل استفاده شود، نوچه کمتری در فضاهای مجاور ایجاد شده و حرارت بیشتری در فضا تولید می‌گردد. اما آنچه که قابل تأمل است محدودیت کاربرد احجام استوانه‌ای در طراحی معماری به جهت مسائل سازه‌ای و روان‌شناسی است. بنابراین پژوهشگر تلاش کرده است که با ایجاد ترکیباتی از استوانه و مکعب به حداقل حرارت تولیدی در داخل فضا دست یابد.

اشکال ترکیبی با دو روش مجزا انتخاب شده‌اند. روش اول ترکیب مستقیم قطاع‌هایی از استوانه در شکل‌های راست‌گوش مکعب یا مکعب مستطیل و روش دوم بیشتر کردن میزان گوشه‌ها و ضلع‌ها در فضاهای مکعب مربع با توجه به این که استوانه یک‌چند ضلعی با بینهایت ضلع و گوشه است.

شبیه‌سازی به کار بسته می‌شود و گرمای تولیدی حاصل از ضرب جذب هوا در داخل استوانه به حجم یک مترمکعب به دست می‌آید. همان‌طور در شکل ۶ دیده می‌شود تغییرات دمایی از محل قرارگیری منبع شروع شده و باگذشت زمان در داخل حجم استوانه‌ای گسترش می‌یابد. تغییرات دمایی استوانه در بازه زمانی ۰۰۰۰ ثانیه در جدول ۲ آرائه شده‌است.

در ادامه فرایند شبیه‌سازی فوق در سایر احجام خالص (کره، سهمی، مخروط و مکعب) به حجم یک مترمکعب انجام شده و نتایج حاصله در جداول ۳ و ۴ آرائه گشته است. میزان حرارت تولیدی از نظر بیشینه مقدار در حجم استوانه‌ای بیشتر از سایر احجام است. بنابراین در صورتی که در طراحی فضا از احجام

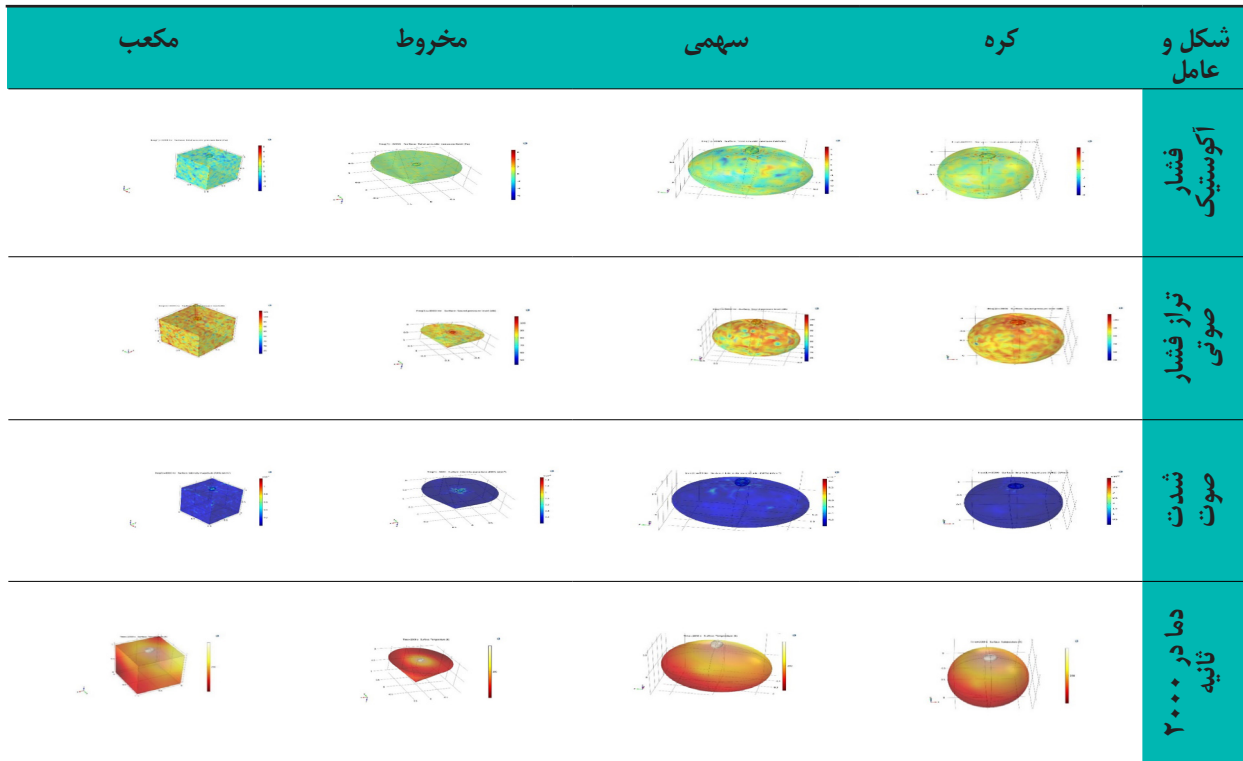


شکل ۶. تغییرات دمایی به ترتیب در زمان‌های ۵۰، ۱۲۵، ۲۵۰، ۵۰۰، ۱۰۰۰، ۲۰۰۰ ثانیه در حجم استوانه‌ای.

جدول ۲ تغییرات دمایی در بازه ۲۰۰۰ ثانیه در حجم استوانه‌ای.

حداکثر دما (برحسب کلوین)	حداقل دما (برحسب کلوین)	زمان سپری شده (بر حس ثانیه)
۲۹۰/۰۳۴۵	۲۸۹/۹۴۲۳۰	۵۰
۲۹۰/۰۴۴۷۶	۲۸۹/۹۴۶۲۵	۱۲۵
۲۹۰/۰۱۳۴۲	۲۸۹/۹۹۱۲	۲۵۰
۲۹۰/۰۱۵۱۵	۲۹۰/۰۰۱۹۸	۵۰۰
۲۹۰/۰۱۲۰۱	۲۹۰/۰۰۳۶۳	۱۰۰۰
۲۹۰/۰۰۵۷۸	۲۹۰/۰۰۳۹	۲۰۰۰

جدول ۳. شبیه‌سازی در احجام کره، سه‌می، مخروط و مکعب.



جدول ۴. نتایج آکوستیکی و گرمایشی در احجام کره، سه‌می، مخروط و مکعب.

شکل و عامل	کره	سه‌می	مخروط	مکعب
	کمینه بیشینه	کمینه بیشینه	کمینه بیشینه	کمینه بیشینه
فشار آکوستیک (Pa)	-۵/۴۷	۴/۶۲	-۴/۰۹	۴/۰۶
تراز فشار صوتی (dB)	۴۹/۶۴	۱۰/۷۲	۶۲/۰۷	۱۰/۴۶
شدت صوت (w/m <sup>2</sup> )	۰/۰۴۴	۰/۰۴۴	۰/۰۱۵	۰/۰۱۵
دما در ۵۰ ثانیه (K)	۲۸۹/۹۹۸	۲۹۰/۰۳۲	۲۹۰/۰۱۶۸۴	۲۹۰/۰۰۰۳
دما در ۱۲۵ ثانیه (K)	۲۹۰/۰۰۰۸۱	۲۸۹/۹۸۰۴	۲۸۹/۰۲۴۲	۲۸۹/۹۸۷۲۵
دما در ۲۵۰ ثانیه (K)	۲۹۰/۰۱۲۹	۲۹۰/۰۱۴۶۱	۲۹۰/۰۰۷۵	۲۹۰/۰۰۷۱
دما در ۵۰۰ ثانیه (K)	۲۹۰/۰۰۱۶۸	۲۹۰/۰۱۰۸۵	۲۹۰/۰۰۱۵	۲۹۰/۰۰۱۹
دما در ۱۰۰۰ ثانیه (K)	۲۹۰/۰۰۲۱۶	۲۹۰/۰۰۸۰۵	۲۹۰/۰۰۱۶۷	۲۹۰/۰۰۲۰۱
دما در ۲۰۰۰ ثانیه (K)	۲۹۰/۰۰۲۵۸	۲۹۰/۰۰۵۶۵	۲۹۰/۰۰۳۲۳	۲۹۰/۰۰۲۹۳

گروه دوم: ترکیب قطاع استوانه با مکعب به صورتی که گوشه‌های ۹۰ درجه مکعب حفظ شود. در این صورتی دیوارهای مکعب با قطاع‌های استوانه‌ای ترکیب می‌شوند و استوانه با ۴ زاویه ۹۰ درجه را ایجاد می‌کنند. تصاویر (ج) و (د) در جدول ۵ اشاره به موارد مطرح شده دارند. گروه سوم: ترکیب مکعب و استوانه به حالت عمودی به صورتی که استوانه در سقف ایجاد شود. در ادامه حالت‌های ترکیبی استوانه در

### ترکیب مستقیم قطاع‌های استوانه با مکعب

قطاع‌های استوانه در سه حالت کلی با مکعب ترکیب شده‌اند:

گروه اول: ترکیب قطاع استوانه با مکعب در قسمت گوشه‌های ۹۰ درجه دیوارها به صورتی که مکعب با گوشه‌های منحنی را ایجاد می‌کند. تصاویر الف و ب در جدول ۵ اشاره به فرم‌های مطرح شده دارند.

دما نسبت به مکعب خالص فراهم می‌کند (مورد ج جدول ۶). ترکیب مکعب با گوشه‌های منحنی و استوانه در سقف باعث افزایش تغییرات دمایی به صورت گرمایشی است (مورد د جدول ۶). نتایج عددی شبیه‌سازی ترکیبات ارائه شده در جدول ۶ مشهود است.

### گوشه سازی در مکعب

در ادامه روند پژوهش، جهت دست‌یابی به نتایج گرمایشی مشابه با نتایج استوانه خالص، استوانه به حالت یک‌چند ضلعی منتظم با بینهایت ضلع و گوشه در نظر گرفته شده است. ابتدا گوشه سازی در دیوار و سقف اعمال شده و سپس با توجه به نتایج حاصله، گوشه سازی در سقف در حالت‌های مختلف انجام می‌شود (جدول ۷). در شکل الف از جدول ۶ با افزودن گوشه به دیوار با زاویه منفرجه، دما حاصل از شبیه‌سازی، تغییرات حرارتی را به سمت کاهش دما نشان داده است. اما چنانچه گوشه سازی مذکور در سقف نیز تکرار شود، تغییرات دمایی به سمت افزایش دما تغییر می‌کند (مورد ب جدول ۷). با تقسیم عمودی فضا و حفظ فضای تحتانی با گوشه‌های ۹۰ درجه و تکرار گوشه سازی دیوار و سقف در قسمت فوقانی، تغییرات دمایی به سمت صورت افزایش دما قابل مشاهده است. زوایای ایجاد شده در گوشه سازی‌ها چنانچه متغير باشند، در شرایط مختلف، نتایج متنوعی را ایجاد می‌کنند:

الف: چنانچه زوایا ثابت مانده و تکرار شوند، تغییرات دمایی به سمت افزایش دما حرکت خواهد کرد اما شتاب تغییرات، بسیار انک که خواهد بود (مورد ج جدول ۷).

ب: اگر زوایا متغیر بوده و به سمت زاویه ۹۰ درجه به صورت افزایشی و کاهشی (از زاویه حاده به ۹۰ درجه گویای حالت افزایشی و از زاویه منفرجه به ۹۰ درجه گویای حالت کاهشی است) حرکت کنند، تغییرات دمایی به سمت افزایش دما خواهد بود.

سقف نیز موردنرسی قرار خواهد گرفت.

چنانچه در جدول ۵ نیز دیده می‌شود با ایجاد مکعب با گوشه‌های منحنی و استوانه با زوایای قائم، تغییرات دمایی به صورت زیر در حجم‌های موردن شبیه‌سازی به وقوع می‌پیوندد.

ایجاد منحنی در گوشه با شعاع کمتر از یک‌چهارم ضلع مکعب، تغییرات دمایی چندانی را در مکعب ایجاد نمی‌کند و تغییرات انک ایجاد شده به صورت کاهش دما در حجم دیده می‌شود (مورد الف جدول ۵)، اما چنانچه اندازه شعاع قطاع‌های استوانه به یک‌چهارم ضلع مکعب و بیشتر بررسد، تغییرات دمایی به صورت افزایشی در حجم موردن شبیه‌سازی قابل مشاهده است (مورد ب جدول ۵). در شبیه‌سازی استوانه با زوایای قائم (مورد ج جدول ۵)، حفظ گوشه‌های ۹۰ درجه باعث تغییرات دمایی به صورت افزایش دما، نسبت به مکعب خالص می‌گردد. ترکیب زوایای قائم با قطاع‌های استوانه خالص، تغییرات دمایی بیشتری را به سمت افزایش دما نسبت به قطاع‌های شکسته استوانه ایجاد می‌کند (مورد د جدول ۵)، نتایج عددی شبیه‌سازی ترکیبات ارائه شده در جدول ۵ مشهود است.

در ادامه ترکیب قطاع‌های استوانه و مکعب به حالتی که گوشه‌های دیوارها در زوایای حاده و منفرجه ساخته شود، شبیه‌سازی می‌گردد. زوایای حاده در اثر ترکیب مکعب با قطاع‌های محدب استوانه و زوایای منفرجه در اثر ترکیب مکعب با قطاع‌های مقعر حاصل می‌گردد. گام بعدی در شبیه‌سازی ترکیبی استوانه و مکعب، ترکیب این دو حجم در حالت عمودی است که استوانه در سقف مکعب مکان‌یابی می‌گردد. در مقایسه بین زوایای حاده، منفرجه و قائم، تغییرات دمایی به سمت افزایش دما در زوایای قائم، بیشترین مقدار و در زوایای حاده، کمترین مقدار است (مورد الف و ب جدول ۶). ترکیب مستقیم بین مکعب و استوانه به حالت عمودی تغییرات دمایی قابل توجهی را به سمت کاهش

جدول ۵. نتایج آکوستیکی و گرمایشی در گروه اول ترکیبی

(د) مکعب با گوشه‌های استوانه‌ای	(ج) استوانه با ۴ زاویه ۹۰ درجه	(ب) مکعب با گوشه‌های منحنی با شعاع ۰/۲۵ متر	(الف) مکعب با گوشه‌های منحنی - با شعاع ۰/۱۵ متر	شكل و عامل
				
بیشینه	کمینه	بیشینه	کمینه	بیشینه
۷/۳۱	-۴/۹۳	۴/۶۳	-۸/۰۳	۶/۳۰
۱۰۸/۴۱	۵۴/۷۷	۱۰۹/۱۳	۴۸/۵۳	۱۰۷/۰۱
۰/۰۱۲	حدود صفر	۰/۰۱۶۲	حدود صفر	۰/۰۱۶۵
۲۹۰/۰۱۶۸۷	۲۹۰/۰۰۱۰۲	۲۹۰/۰۲۲۲۸	۲۹۰/۰۰۱۳۸	۲۹۰/۰۰۰۵۹
۲۹۰/۰۱۲۱۷	۲۹۰/۰۰۱۲۶	۲۹۰/۰۱۶۲۹	۲۹۰/۰۰۱۸	۲۹۰/۰۱۸۷۹
۲۹۰/۰۰۸۱۷	۲۹۰/۰۰۱۵۲	۲۹۰/۰۱۱	۲۹۰/۰۰۲	۲۹۰/۰۰۶۹۵
۲۹۰/۰۰۵۱۹	۲۹۰/۰۰۱۶۸	۲۹۰/۰۰۷۰۸	۲۹۰/۰۰۲۰۸	۲۹۰/۰۰۶۸
۲۹۰/۰۰۴۸۸	۲۹۰/۰۰۱۸۶	۲۹۰/۰۰۴۵۳	۲۹۰/۰۰۲۲۳	۲۹۰/۰۰۵۴۸
۲۹۰/۰۰۲۵۶	۲۹۰/۰۰۱۹۶	۲۹۰/۰۰۳۳۴	۲۹۰/۰۰۲۳۷	۲۹۰/۰۰۰۳۲

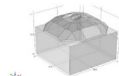
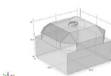
شیبیه‌سازی ترکیبات ارائه شده در جدول ۷ مشهود است.

ج: چنانچه در شکل د از جدول ۷ دیده می‌شود اگر زوایای منفرجه به سمت زاویه ۱۸۰ درجه درحال تغییر باشند تغییرات دمایی با شتاب قابل توجهی به سمت کاهش دما حرکت خواهد کرد. نتایج عددی

جدول ۶ نتایج آکوستیکی و گرمایشی در گروه دوم ترکیبی.

شکل و عامل							
(د) مکعب با گوشه‌های منحنی		(الف) مکعب با اضلاع محدب		(ب) مکعب با اضلاع مکعب با با شاعع ثابت			
با شاعع ۲۵۰ متر و استوانه در سقف				با شاعع ثابت			
							
بیشینه	کمینه	بیشینه	کمینه	بیشینه	کمینه	بیشینه	کمینه
۵/۷۴	-۶/۱۳	۵/۳۰	-۴/۵۲	۸/۷۶	-۷/۲۳	۴/۸۳	-۴/۲۶
۱۰/۱۰۷,۴۹	۶۰/۰۴	۱۰۶/۳۲	۵۸/۴۲	۱۱۵/۶۴	۵۳/۴۳	۱۰۸/۲۰	۴۷/۳۸
۰/۰۲۳۲	حدود صفر	۰/۰۱۷۸۹	حدود صفر	۰/۰۳۴۳	حدود صفر	۰,۰۱۰۴	حدود صفر
۲۹۰/۰۱۹۲۹	۲۹۰/۰۰۰۴۲	۲۹۰/۰۱۵۳۶	۲۸۹/۹۹۹۹۹	۲۹۰/۰۰۳۸	۲۹۰/۰۰۰۰۸	۲۹۰/۰۰۲۴۱	۲۹۰/۰۰۰۱۲
۲۹۰/۰۱۷۲۷	۲۸۹/۹۷۳۸۴	۲۹۰/۰۰۰۸۶	۲۹۰	۲۹۰/۰۰۱۹۸	۲۹۰/۰۰۰۱۸	۲۹۰/۰۰۰۱۵	۲۹۰/۰۰۰۱۶
۲۹۰/۰۰۸۳۵	۲۸۹/۹۹۷۷۳	۲۹۰/۰۰۷۵۲	۲۹۰	۲۹۰/۰۰۱۴۱	۲۹۰/۰۰۰۲۲	۲۹۰/۰۰۱۳۲	۲۹۰/۰۰۰۱۸
۲۹۰/۰۰۰۸۸۳	۲۹۰/۰۰۱۹۲	۲۹۰/۰۰۰۷۵	۲۹۰	۲۹۰/۰۰۰۸۴	۲۹۰/۰۰۰۲۴	۲۹۰/۰۰۰۷۸	۲۹۰/۰۰۰۲
۲۹۰/۰۰۶۷۳	۲۹۰/۰۰۲۳۷	۲۹۰/۰۰۰۳۹	۲۹۰	۲۹۰/۰۰۰۴۸	۲۹۰/۰۰۰۲۶	۲۹۰/۰۰۰۴۴	۲۹۰/۰۰۰۲۱
۲۹۰/۰۰۰۳۵۲	۲۹۰/۰۰۲۵۷	۲۹۰/۰۰۱۹	۲۹۰/۰۰۰۱	۲۹۰/۰۰۰۳۴	۲۹۰/۰۰۰۲۷	۲۹۰/۰۰۰۳۲	۲۹۰/۰۰۰۲۳

جدول ۷. نتایج آکوستیکی و گرمایشی در گروه سوم ترکیبی.

شکل و عامل							
گوشه سازی در سقف مکعب تا جایی که گنبدخانه ایجاد شود (د)		گوشه سازی در سقف و دیواره مکعب (ب)		گوشه سازی در دیواره‌ای مکعب (الف)			
							
بیشینه	کمینه	بیشینه	کمینه	بیشینه	کمینه	بیشینه	کمینه
۴,۷۹	-۷	۵,۷۰	-۵,۸۱	۵,۵۰	-۵/۷۳	۴/۴,۲۳	-۴/۴,۷۶
۱۰۹/۳۷	۶۱/۴۴	۱۰۷/۳۰	۵۰/۳۱	۱۰۷/۵۲	۵۵/۳۲	۱۰۴/۷۴	۶۰/۷۶
۰/۰۲۴۱۸	حدود صفر	۰/۰۱۳۸۵	حدود صفر	۰/۰۱۳۹۱	حدود صفر	۰/۰۱۰۶۷	حدود صفر
۲۹۰/۰۰۳۷۵	۲۹۰/۰۰۰۱۸	۲۹۰/۰۳۴۳۲	۲۹۰/۰۱۲۵	۲۹۰/۰۲۷۶۳	۲۹۰/۰۰۱۳۱	۲۹۰/۰۱۱۳۵	۲۹۰/۰۰۰۸۱
۲۹۰/۰۰۲۲۸	۲۹۰/۰۰۰۲۲	۲۹۰/۰۳۷۶۳	۲۸۹/۹۷۹۷	۲۹۰/۰۲۸۴۷	۲۸۹/۹۹۱۱۷	۲۹۰/۰۰۰۶۴۷	۲۹۰/۰۰۱۲۲
۲۹۰/۰۰۲۴۳	۲۹۰/۰۰۰۲۵	۲۹۰/۰۲	۲۹۰/۰۰۱۸۲	۲۹۰/۰۱۵۹۳	۲۹۰/۰۰۱۵۱	۲۹۰/۰۰۰۵۴۸	۲۹۰/۰۰۱۴۲
۲۹۰/۰۰۱۵۱	۲۹۰/۰۰۰۲۸	۲۹۰/۰۱۵۱۵	۲۹۰/۰۰۲۷۷	۲۹۰/۰۱۱۱۲	۲۹۰/۰۰۲۵۹	۲۹۰/۰۰۰۴۳۷	۲۹۰/۰۰۱۵۴
۲۹۰/۰۰۰۸۱	۲۹۰/۰۰۰۳۱	۲۹۰/۰۰۴۵۷	۲۹۰/۰۰۳۷۶	۲۹۰/۰۰۰۶۹	۲۹۰/۰۰۰۲۷	۲۹۰/۰۰۰۳۰۶	۲۹۰/۰۰۱۶۳
۲۹۰/۰۰۰۵۸	۲۹۰/۰۰۰۳۲	۲۹۰/۰۰۴۵۶	۲۹۰/۰۰۳۲۳	۲۹۰/۰۰۰۳۸	۲۹۰/۰۰۰۲۸۸	۲۹۰/۰۰۰۲۴۳	۲۹۰/۰۰۰۱۷۵

## لـ نتیجه‌گیری

بررسی چگونگی بهره‌گیری از زمین در ساختمان‌های بومی براساس پارامترهای اقلیمی. هویت شهر، ۲۰(۸)، ۱۰۰-۸۹.

۳. سخن‌دان، زهرا و خان محمدی، محمدعلى. (۱۳۹۴). بهینه کردن کارکرد انرژی دیوارهای بدون بازشو در جبهه‌های آفتاب‌گیر. هویت شهر، ۹(۲۳)، ۸۲-۷۳.

۴. صادقی زاده، زهرا. (۱۳۹۰). بررسی عامل محرك ترموماکوستيک. پایان‌نامه کارشناسی ارشد، دانشگاه شریف، تهران.

۵. کريمي، محسن. (۱۳۹۲). آناليز اکسریزی پمپ حرارتی ترموماکوستيک با کاربرد صنعتی. رساله دکتری، دانشگاه شریف، تهران.

۶. لب، کنت؛ واتسون، دانلد. (۱۳۸۴). سистем‌های کنترل محیط‌زیست، تنظیم شرایط محیطی در ساختمان، گرمایش، سرمایش، روشنایی. (وحید قبادیان و محمد فیض مهدوی، مترجم). تهران: دانشگاه تهران. (نشر اثر اصلی ۱۹۳۷).

۷. مور، فولر. (۱۳۸۲). طراحی اقلیمی، اصول نظری و اجرایی کاربرد انرژی در ساختمان. (محمدعلی کی‌نژاد و رحمان آذری، مترجم). تهران: دانشگاه هنر اسلامی تبریز. (نشر اثر اصلی ۱۹۳۷).

8. Bao, R., Chen, G., Tang, K., Jia, Z., & Cao, W. (2006). Influence of resonance tube geometry shape on performance of thermoacoustic engine. *Ultrasonics*, 44, Supplement, 1519-1521.
9. Gopinath, A., Tait, N. L., & Garrett, S. L. (1998). Thermoacoustic streaming in a resonant channel: The time-averaged temperature distribution. *The Journal of the Acoustical Society of America*, 103(3), 1388-1405.
10. Jin, T., Huang, J., Feng, Y., Yang, R., Tang, K., & Radebaugh, R. (2015). Thermoacoustic prime movers and refrigerators: Thermally powered engines without moving components. *Energy*, 93, Part 1, 828-853.
11. Khanmohammadi, M. A. & Sokhandan, Z. (2013). Architectural Design of Passive Energy Systems, with Emphasis on Eaves. *Journal of Applied Environmental and Biological Sciences*, 3(11). pp: 96-102.
12. Rott, N. (1969). Damped and thermally driven acoustic oscillations in wide and narrow tubes. *Journal of Applied Mathematics and Physics (ZAMP)*, 20(2), 230-243.
13. Rott, N. (1974). The influence of heat conduction on acoustic streaming. *Journal of Applied Mathematics and Physics (ZAMP)*, 25(3), 417-421.
14. Swift, G. W. (1988). Thermoacoustic engines. *The Journal of the Acoustical Society of America*, 84(4), 1145.

در مقاله حاضر تأثیر هندسه در جذب صوت و ایجاد تغییرات دمایی در اثر تشدید و جذب انرژی‌های صوتی در یک فرکانس و حجم ثابت از طریق نرم‌افزار COMSOL مورد بررسی قرار گرفت و ثابت گردید که هندسه بنا در مواجه با انرژی‌های صوتی بدون دخالت هیچ نوع جذب‌کننده صوتی، تأثیر مستقیمی در کنترل آکوستیکی و گرمایشی فضا دارد. تغییرات گرمایشی در دو دسته احجام خالص و اجسام ترکیبی پس از جذب صوت، شبیه‌سازی گشته و مشخص شد که استوانه، بیشترین تولید انرژی گرمایشی حاصل از جذب صوت را در میان احجام خالص دارد. همچنین با تلقی استوانه به عنوان یک چندضلعی منتظم با بی‌نهایت گوش، ضلع و ساخت گوش در احجام ترکیبی، انرژی صوتی وابسته به زوایای بین اضلاع، دچار نوسان شده و هرچه گوش‌های تولیدشده به زاویه ۹۰ درجه نزدیکتر باشند، گرمای بیشتری در داخل فضا ایجاد می‌شود. گوش‌های منفرجه تغییرات دمایی را به سمت افزایش دما و گوش‌هایی با زاویه حدودی تغییرات دمایی را به سمت کاهش دما (سرماشی) سوق می‌دهند. علاوه بر نتایج ارائه شده نتایج زیر به عنوان دستاوردهای جانبی پژوهش ارائه می‌گردد:

الف: در هندسه‌های متراکم، تولید گرما از انرژی صوتی بیشتر از هندسه‌هایی با کشیدگی در یک بعد است. چنانچه دمای تولیدشده در یک مکعب مربع بیشتر از یک مکعب مستطیل با حجم و ارتفاع برابر است.

ب: ترکیب قطاع استوانه و مکعب در قسمت دیوار با حفظ زاویه ۹۰ درجه، تغییرات دمایی را به سمت افزایش دما سوق می‌دهد.

ج: با ایجاد مکعب با گوش‌های منحنی<sup>۸</sup> (فیلت شده) در صورتی که شعاع استوانه برابر یا بزرگ‌تر از یک‌چهارم ضلع مکعب باشد، موجب افزایش دما شده و هرچه شعاع افزایش یابد، دمای بیشتری تولید خواهد شد.

د: تغییرات هندسی در احجام ترکیبی، چنانچه در قسمت یک‌سوم فوقانی فضا انجام شود، تغییرات حرارتی را به سمت افزایش دما سوق خواهد داد.

ه: در هندسه فضایی مقرر دمای بیشتری نسبت به هندسه فضایی محدب در اثر نوسانات صوتی ایجاد می‌شود.

## لـ پـ نوشتـ هـا

1. Byron Higgins
2. Laplaca
3. Sondhauss
4. Rijke
5. Krichhoff
6. Taconis
7. Kramer
8. Fillet

## لـ فـهـرـسـتـ مـرـاجـعـ

۱. آگان، دیوید. (۱۳۹۰). آکوستیک در معماری. ترجمه مسعود حسنی. انتشارات یزدا.
۲. بزرگر، زهرا. نعمتی، محمدعلى و بذرگر، محمدرضا. (۱۳۹۳).

# Optimization of Geometry of Architectures to Achieve the Thermal Function with Thermo-Acoustic Effect

**Zahra Sokhandan Sorkhabi\***, Ph.D., Candidate, Architecture Department, Art University of Isfahan, Isfahan, Iran.

**Farshad Nasrollahi**, Ph.D., Assistant Professor, Architecture Department, Art University of Isfahan, Isfahan. Iran.

**Abbas Ghaffari**, Ph.D., Assistant Professor, Architecture Department, Islamic Art university of Tabriz , Tabriz. Iran.

## Abstract

In this paper, geometries of architecture have been identified which convert maximum sound and oscillation energies to thermal energy without any kind of absorbers to minimize mount of noise in spaces through the geometry of space with absorbing the maximum sound energies. Research has been done with COMSOL5.2 software and simulation method. The argument of this research has been done through the logical reasoning and with test developing in selective software and has been documented and resulted. In process of research, sound with 8000 HZ frequency that simulated a human speech, has been played in spaces with diverse form (changes in form of walls, ceilings) and same materials and has been calculated the mount of intensity, pressure and sound pressure level. Then mount of sound absorbing and converting to thermal energy has been simulated in spaces with applying the absorbing rate of air and results has been documented from temperature change dependence to geometry of spaces. It is so important that the walls, ceilings and floors were adiabatic and insulate completely from inside. In Simulation processes, air has been used as a material that is filled inside of simulated forms and there has been not any kind of other materials. By obtaining numerical results, the most suitable geometries are identified for producing heat through the sound oscillations and minimizing the noise.

As a result, it was found that geometry of building make potential for Acoustic and thermal comfort from sound energy without any kind of absorbing materials inside of rooms. Heating changes simulated in two kind of geometries: pure volume and composite volume. Composite volumes have been choosing through the result of pure volume. Between pure volumes, Cylinder produced maximum temperature through the sound energies. Considering cylinder as a regular polygon with infinity corners and sides and making corners in composite volumes, heating changes oscillated due to corners between sides. Corners with angel about to 90 degree produce more heat compared with other corners. A plurality of corners with 90 degree and equal sides adjacent to angle in geometry of architectural spaces change the mount of temperature in increasing ways. Corners with obtuse angles cause higher temperature and corners with acute angles produce lower temperature. The highest temperature happens in geometries with 90 degree angles. Number of corners with obtuse and acute angles did not follow the definitive rules to produce heating or cooling in this study. The Best position for making consecutive corners in plans with right corners is the upper third of the height of Architectural spaces that produce high temperature. In compact geometries, the heat generated due to sound energies and oscillations are more than geometries with stretching in one direction. A Cube produces more heat than rectangle with same amount of height and volume. Composite of Cylinder and cube volumes in walls by maintaining the corners with 90 degree angles, lead to increasing the temperature. Filleted angles in walls of cubes and rectangles, with radius of  $\frac{1}{4}$  of side of cube and more, make temperature increasing.

**Keywords:** Consecutive Cornering, Sound Energy, Sound Absorber, Thermal Energy, SPL

\* Corresponding Author: Email: zahra.sokhandan@gmail.com